

Mandag 23.01.06

### Elektriske feltlinjer

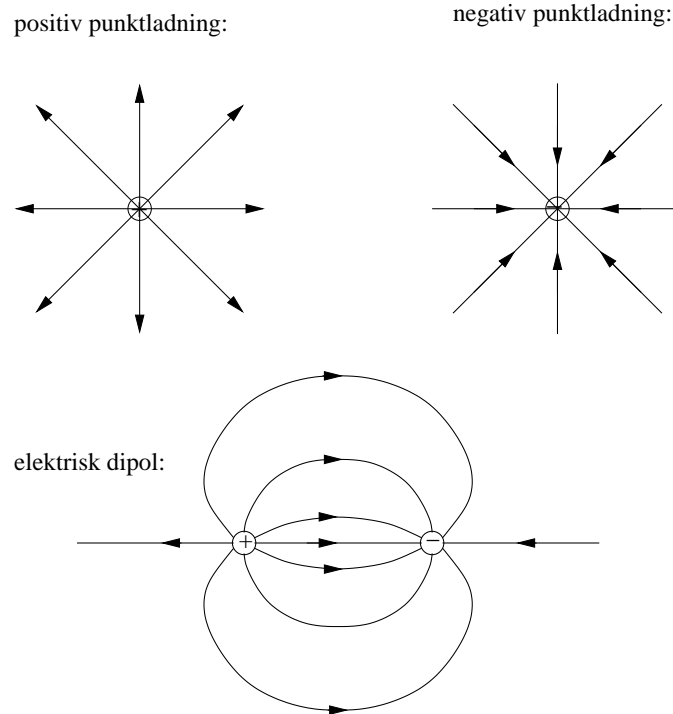
[FGT 22.2; YF 21.6; TM 21.5; AF 21.6; LHL 19.6; DJG 2.2.1]

- gir en visuell framstilling av  $\mathbf{E}$  i et område
- $\mathbf{E}$  ligger tangentielt til feltlinjene overalt
- styrken på  $\mathbf{E}$  (dvs  $|\mathbf{E}|$ ) er proporsjonal med tettheten av feltlinjer, dvs antall feltlinjer pr flateenhet

Konsekvenser av dette er bl.a. at

- feltlinjene går radielt *ut fra* positive (punkt-)ladninger og radielt *inn mot* negative ladninger
- like mange feltlinjer går ut fra ladning  $+Q$  som inn mot  $-Q$

Eksempler:



## Elektrisk dipol og elektrisk dipolmoment

[FGT 22.1; YF 21.7; TM 21.4; AF 21.11; LHL 19.10; DJG 2.2.1, 3.4.2]

Dersom vi har to ladninger  $q$  og  $-q$  i en viss innbyrdes avstand, har vi en elektrisk dipol. Avstandsvektoren  $\mathbf{d}$  fra den negative ladningen  $-q$  til den positive ladningen  $q$  beskriver hvordan de to er lokalisert i forhold til hverandre.

Dipolens elektriske *dipolmoment*  $\mathbf{p}$  er da:

$$\mathbf{p} = q\mathbf{d}$$

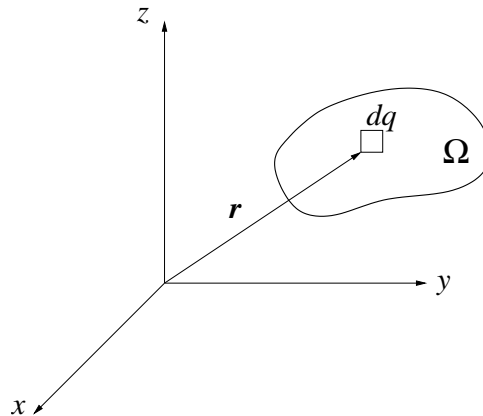
Dipolmomentet er altså en *vektor* som peker fra den negative mot den positive ladningen, med størrelse lik produktet av ladningen  $q$  og avstanden  $d$ .

Enhet for elektrisk dipolmoment:  $[p] = [qd] = \text{Cm}$ .

Mer generelt kan vi definere det elektriske dipolmomentet for en vilkårlig ladningsfordeling innenfor et romlig område  $\Omega$ :

$$\mathbf{p} = \int_{\Omega} \mathbf{r} dq$$

Her kan  $\Omega$  være et område i 1, 2 eller 3 dimensjoner.



I 1D ("linjeladning"):

$$\begin{aligned} dq &= \lambda(x) dx \\ \mathbf{r} &= x \hat{x} \end{aligned}$$

I 2D ("flateladning"):

$$\begin{aligned} dq &= \sigma dA \\ &= \sigma(x, y) dx dy \quad (\text{kartesisk}) \\ &\quad \sigma(r, \phi) r dr d\phi \quad (\text{polarkoordinater}) \\ \mathbf{r} &= x \hat{x} + y \hat{y} \quad (\text{kartesisk}) \\ &\quad r \hat{r} \quad (\text{polarkoordinater}) \end{aligned}$$

I 3D ("romladning"):

$$\begin{aligned}
 dq &= \rho dV \\
 &= \rho(x, y, z) dx dy dz \text{ (kartesisk)} \\
 &\quad \rho(r, \theta, \phi) r^2 dr \sin \theta d\theta d\phi \text{ (kulekoord)} \\
 \mathbf{r} &= x \hat{x} + y \hat{y} + z \hat{z} \text{ (kartesisk)} \\
 &\quad r \hat{r} \text{ (kulekoord)}
 \end{aligned}$$

Det elektriske dipolmomentet  $\mathbf{p}$  er bare entydig definert dersom systemet har null netto ladning, dvs

$$Q = \int_{\Omega} dq = 0$$

Dersom systemets nettoladning  $Q$  er forskjellig fra null, vil  $\mathbf{p}$  avhenge av hvor vi plasserer origo (dvs  $\mathbf{r} = 0$ ).

Eksempel: Stav med lengde  $2L$ , positiv ladning  $\lambda_0$  pr lengdeenhet på den ene halvdelen ( $0 < x < L$ ), negativ ladning  $-\lambda_0$  pr lengdeenhet på den andre halvdelen ( $-L < x < 0$ ). Bestem stavens elektriske dipolmoment  $\mathbf{p}$ .

Løsning:

$$\mathbf{p} = \int_{-L}^L x \hat{x} \lambda(x) dx = \hat{x} \lambda_0 \left( \int_{-L}^0 (-x) dx + \int_0^L x dx \right) = \hat{x} \lambda_0 \left( \frac{L^2}{2} - \frac{L^2}{2} \right) = \lambda_0 L^2 \hat{x}$$

## **Elektrisk potensial**

[FGT 24.2; YF 23.2; TM 23.1; AF 21.9; LHL 19.9; DJG 2.3.1, 2.3.2, 2.4.1]

Vi har en *konservativ* kraft  $\mathbf{F}$  dersom arbeidet  $\int_A^B \mathbf{F} \cdot d\mathbf{l}$  er uavhengig av veien mellom startposisjonen  $A$  og sluttposisjonen  $B$ .

Eksempler på konservative krefter: Gravitasjonskraften mellom to masser. Den elektrostatiske kraften mellom to ladninger.

Eksempel på ikke-konservativ kraft: Friksjon.

Mer generelt har vi et *konseratativt vektorfelt*  $\mathbf{G}$  dersom *veiintegralet*  $\int_A^B \mathbf{G} \cdot d\mathbf{l}$  er uavhengig av integrasjonsveien mellom  $A$  og  $B$ .

For et konservativt vektorfelt  $\mathbf{G}$  gjelder:

$$\oint \mathbf{G} \cdot d\mathbf{l} = 0$$

der  $\oint$  angir integral rundt *lukket kurve* i rommet.

Vi fortsetter med dette i uke 5!